

## АНОМАЛИИ ТЕМПЕРАТУРНОЙ ЗАВИСИМОСТИ СОПРОТИВЛЕНИЯ ПЛЕНОК $\text{Cu}_n\text{C}_{60}$ В ОБЛАСТИ ТЕМПЕРАТУР 80–120 К

© В.Ф.Мастеров, А.В.Приходько, О.И.Коньков, Е.И.Теруков

Санкт-Петербургский государственный технический университет,  
195251 Санкт-Петербург, Россия  
(Поступила в Редакцию 14 ноября 1995 г.)

В работах [1–3] сообщалось о наблюдении сверхпроводящего фазового перехода в порошкообразных образцах  $\text{Cu}_n\text{C}_{60}$  при температурах 80–120 К. В данной работе приводятся результаты по обнаружению фазового перехода при азотных температурах в тонких пленках аналогичного состава.

Пленки изготавливались методом термического испарения электролитической меди (99%) и одновременной сублимацией порошка  $\text{C}_{60}$  (99.8% чистоты) в вакууме ( $p = 10^{-6}$  Torr). Подложкой служили кристалловые пластинки. Для монотонного изменения концентрации меди испарители были разнесены на длину подложки (87 mm) и отстояли от нее на 70 mm. Полученные пленки отжигались при  $T = 820^\circ\text{C}$  в потоке аргона под давлением 1 atm в течение часа. В качестве контактов использовались медные полоски, расстояние между которыми составляло 100  $\mu\text{m}$ . Схематически образцы представлены на вставке на рис. 1. Измерения сопротивления проводились импульсным методом с длительностью импульса порядка 10 ns и на постоянном токе. Зависимость сопротивления образца от координаты, измеренная на постоянном токе, представлена на рис. 1 (кривая 1). Область  $x = 50$ –57 mm соответствует массовому соотношению  $\text{C}_{60}/\text{Cu}$  (6.2–9.2), которое определялось из профиля распределения по толщине отдельно для  $\text{C}_{60}$  и Cu. Значение индекса  $n$  при этом равно 1.2–1.8. Изменение толщины пленки по ее длине представлено на рис. 1 (кривая 2).

По данным ИК-спектроскопии различных участков образца в области  $x = 50$ –57 mm, основу образца составляет фуллерен  $\text{C}_{60}$ .

Для регистрации температурной зависимости сопротивления в условиях минимального разогрева образца нами использовалась, как указано выше, импульсная методика, позволяющая регистрировать раздельно падающий и отраженный от образца импульсы напряжения наносекундной длительности [4]. Применялись стробоскопический осциллограф С7–8, генератор прямоугольных импульсов на основе ртутного реле с фронтом импульса  $\leqslant 0.45$  ns, длительностью 4–10 ns и частотой следования импульсов 150–220 Hz. Температура измерялась электронным термометром с хромалюминиевым датчиком.

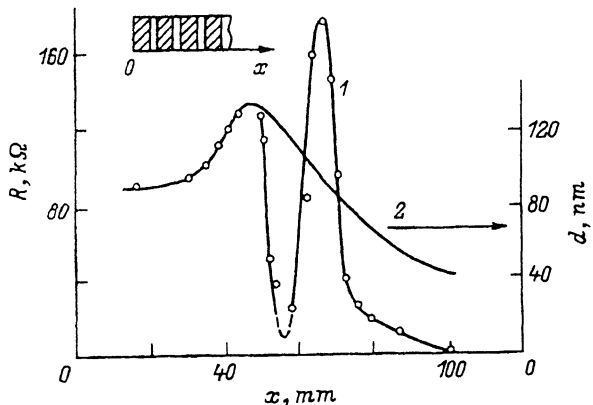


Рис. 1. Зависимость сопротивления образца  $\text{Cu}_n\text{C}_{60}$  (1) и его толщины (2) от координаты  $x$ .

На вставке схематически представлен образец: темные участки — медь, светлые —  $\text{C}_n\text{C}_{60}$ .

Сравнительно высокие сопротивления пленок в области  $x = 50-57 \text{ mm}$  ( $R \approx 10 \text{ k}\Omega$ ) не позволяют регистрировать изменения амплитуды отраженного импульса ( $R/\rho \geq 10^2$ ,  $R$  — сопротивление образца,  $\rho$  — волновое сопротивление) в соответствии с методикой, описанной в [4]. Поэтому для решения данной задачи использовались особенности переходных процессов в образце, заключающиеся в том, что крутизна нарастания импульса, отраженного от образца, эквивалентна постоянной времени, определяемой параметрами нагрузки [5]. Регистрируя изменение крутизны фронта импульса (рис. 2, b), отраженного от образца, можно получить информацию о его электрических параметрах, в частности, о сопротивлении.

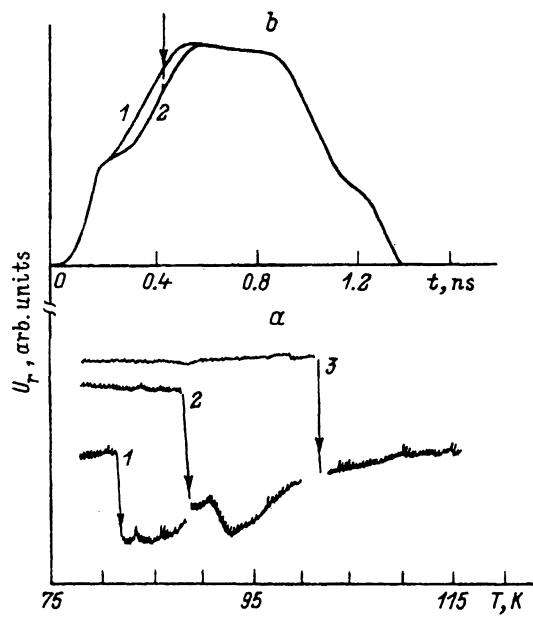


Рис. 2. Динамика  $U_r(I)$  при последовательном термоциклизировании (1-3) образца  $\text{Cu}_n\text{C}_{60}$  (a) и форма отраженного импульса (b).

Стрелка указывает место изменения крутизны при фазовом переходе: 1 —  $T < T_c$ , 2 —  $T > T_c$ .

На рис. 2, а показано изменение амплитуды отраженного импульса  $U_r$  в определенной точке переднего фронта, отмеченной стрелкой на рис. 2, б, при последовательном термоциклировании для образца в области  $x = 50-57$  mm. Термоциклизование проводилось в интервале температур 78–150 K без нагрева до температуры окружающей среды. Наблюдается резкое уменьшение крутизны переднего фронта отраженного импульса при повышении температуры от азотной, что можно отнести к существованию в образце сверхпроводящих областей. При этом последовательные термоциклы приводят к изменению температуры перехода от 83 до 103 K. Это согласуется с результатами работы [6] по исследованию наносекундного воздействия на порошкообразный  $\text{Cu}_n\text{C}_{60}$  образец аналогичного состава, где  $T_c \sim 90$  K.

Указанный переход наблюдался только в области первого минимума на кривой зависимости сопротивления образца от концентрации меди (50–57 mm) (рис. 1). Уменьшение сопротивления при  $x > 70$  mm не сопровождается появлением сверхпроводящей фазы в образце. При этом, по данным ИК-спектроскопии, фуллерен практически исчезает, и эта область представляет собой аморфный углерод с интеркалированными в него атомами.

Аналогичный эффект наблюдается и в порошкообразных образцах  $\text{Cu}_n\text{C}_{60}$ : отжиг при температурах выше 800°С приводит к диссоциации фуллерена и как следствие к исчезновению сверхпроводящих свойств. Следовательно, за образование сверхпроводящих областей действительно ответственна система Cu– $\text{C}_{60}$  при этом как электрические, так и сверхпроводящие свойства очень критичны к содержанию меди (рис. 1). Следует отметить, что при постановке задачи по обнаружению сверхпроводимости в фуллерене  $\text{Cu}_n\text{C}_{60}$  мы основывались на значении  $n = 1.5$ , предполагая, что медь находится в состоянии  $\text{Cu}^{2+}$ , т.е. отдает два электрона в зону проводимости; именно при этом значении индекса меди зона проводимости заполняется наполовину, как у известных фуллеридов щелочных металлов. Это значение соответствует диапазону изменения  $n = 1.2-1.8$  для области 50–57 mm исследованного образца.

Таким образом, итогом работы является обнаружение фазового перехода в пленках  $\text{Cu}_n\text{C}_{60}$ , аналогичного наблюдавшему для порошкообразных образцов того же состава, имеющего, по всей видимости, то же происхождение.

Работа поддержана Научным советом по проблеме «Фуллерены и атомные кластеры».

#### Список литературы

- [1] Мастеров В.Ф., Коньков О.И., Приходько А.В., Теруков Е.И., Попов Б.П., Ястребов С.Г. Письма в ЖТФ **20**, 15, 17 (1994).
- [2] Мастеров В.Ф., Приходько А.В., Коньков О.И., Теруков Е.И. Письма в ЖТФ **21**, 1, 66 (1995).
- [3] Masterov V.F., Prikhodko A.V., Terukov E.I., Konkov O.I. Book of Abstr. IWFAC-95. St.Petersburg (1995). P. 136.
- [4] Jantsch W., Heinrich H. Rev. Sci. Instr. **41**, 2, 228 (1970).
- [5] Моругин Л.А., Глебович Г.В. Наносекундная импульсная техника. М. (1964). 623 с.
- [6] Мастеров В.Ф., Приходько А.В., Коньков О.И., Теруков Е.И., Далкус Л.З. ФТТ **38**, 5, 102 (1996).